

Figura 14 Distribuzione spaziale delle concentrazioni medie orarie del 98° percentile di NO<sub>2</sub> per ogni comune dove presente almeno una stazione della rete.

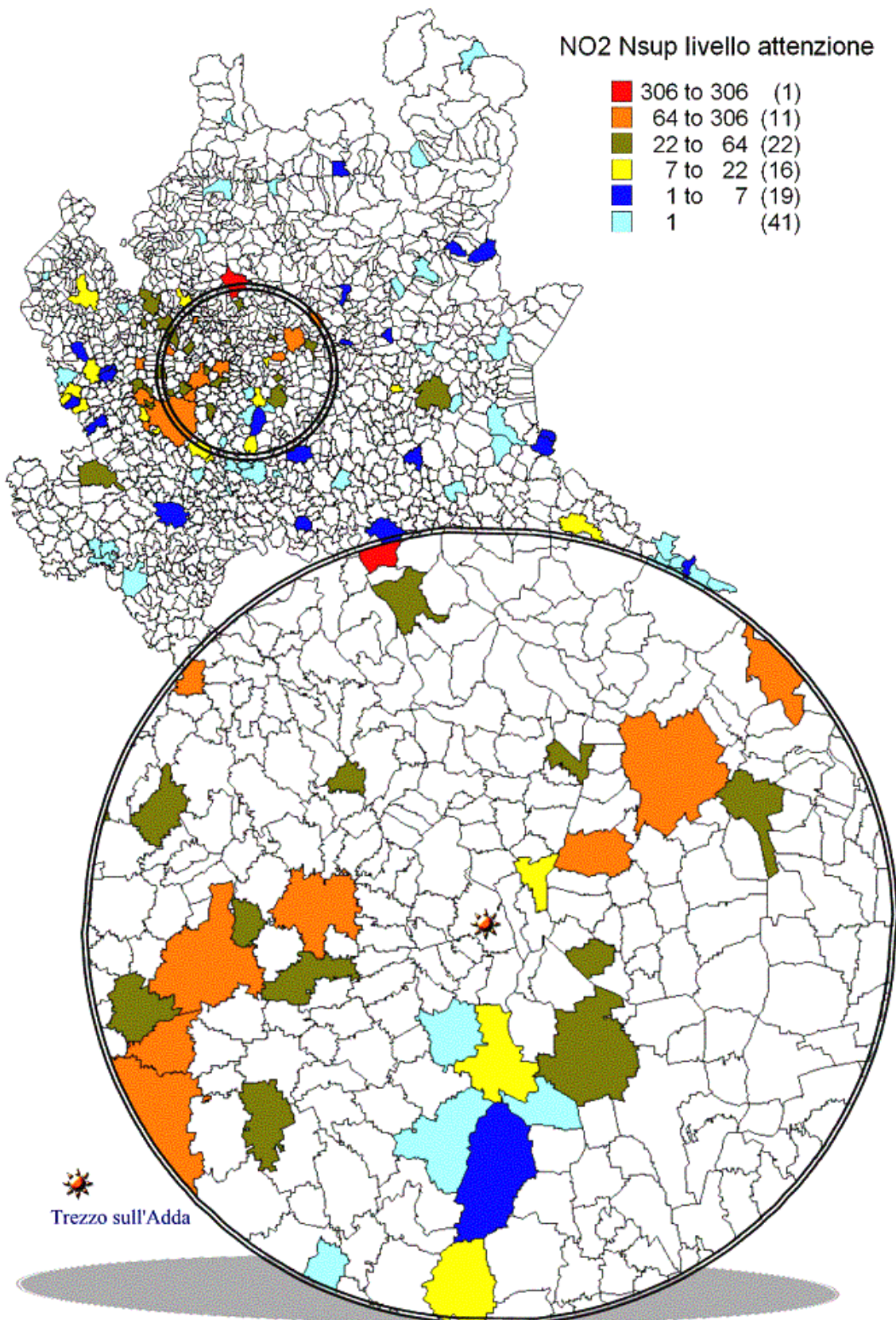


Figura 15 Distribuzione spaziale dei numeri di superamenti del livello di attenzione di NO<sub>2</sub> per ogni comune dove presente almeno una stazione della rete.

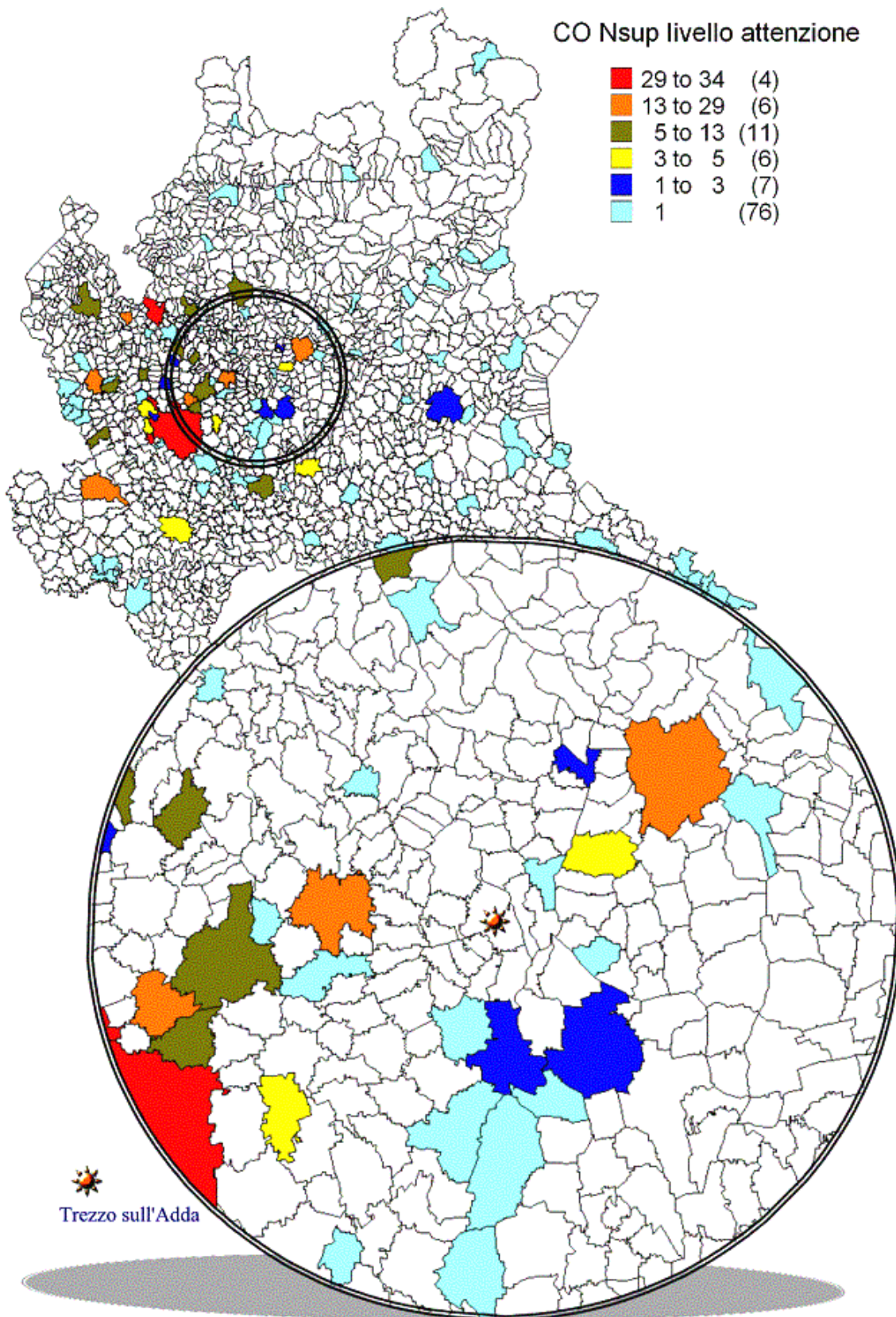


Figura 16 Distribuzione spaziale dei numeri di superamenti del livello di attenzione di CO per ogni comune dove presente almeno una stazione della rete.

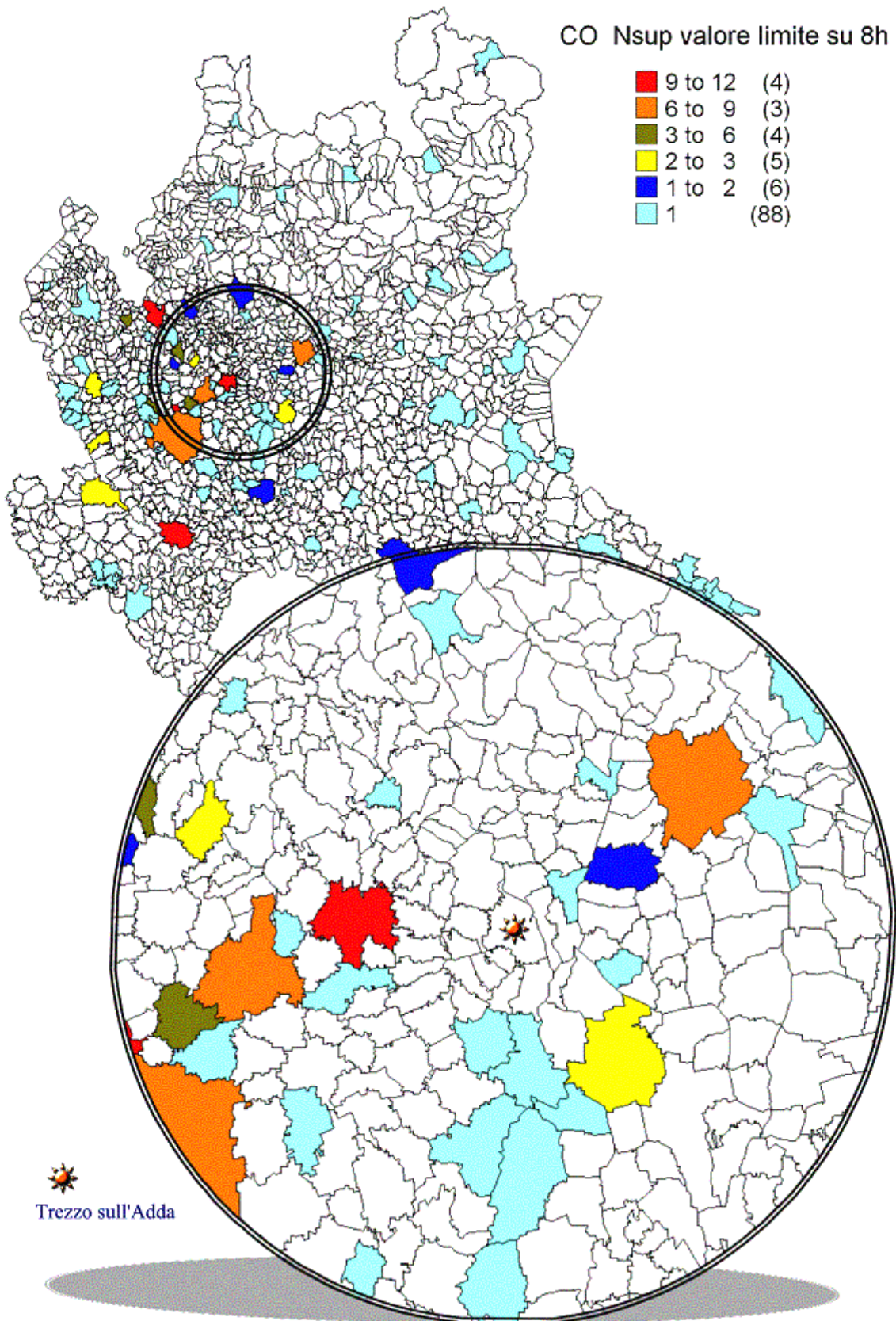
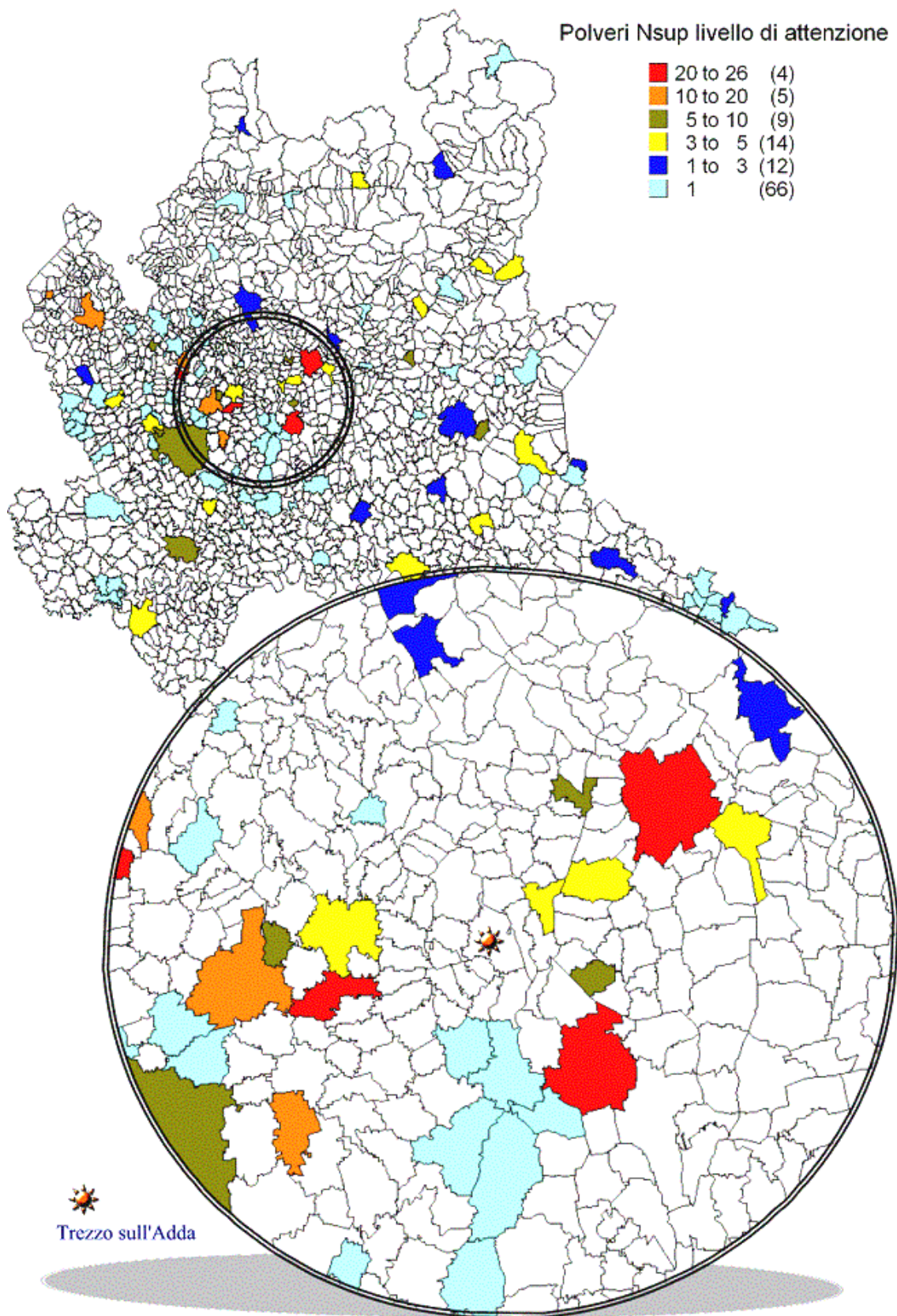


Figura 17 Distribuzione spaziale dei numeri di superamenti del valore limite su 8h di CO per ogni comune dove presente almeno una stazione della rete.



*Figura 18* Distribuzione spaziale dei numeri di superamenti del livello di attenzione di polveri per ogni comune dove presente almeno una stazione della rete.

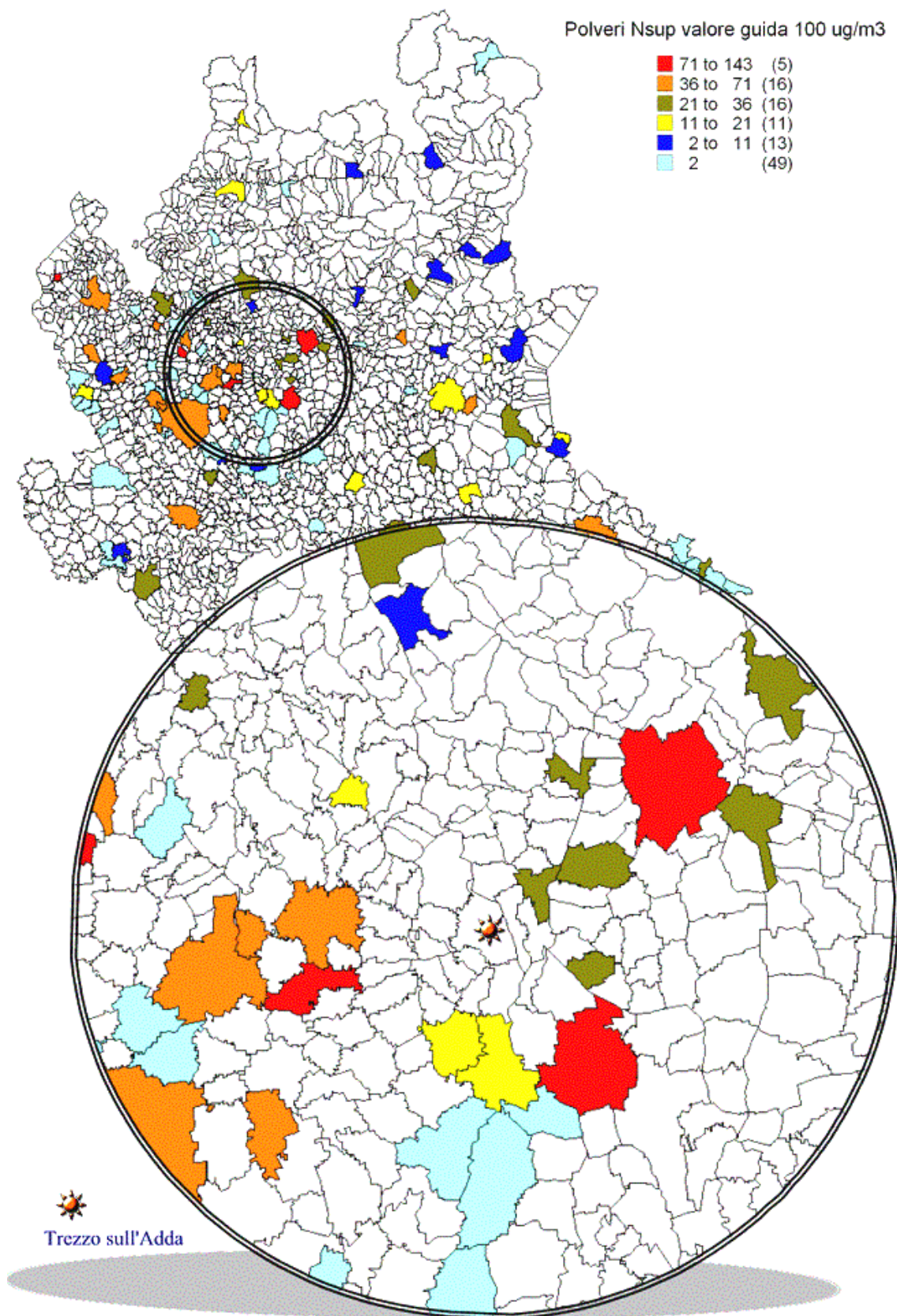


Figura 19 Distribuzione spaziale dei numeri di superamenti del valore guida di  $100\mu\text{g}/\text{m}^3$  di polveri per ogni comune dove presente almeno una stazione della rete.

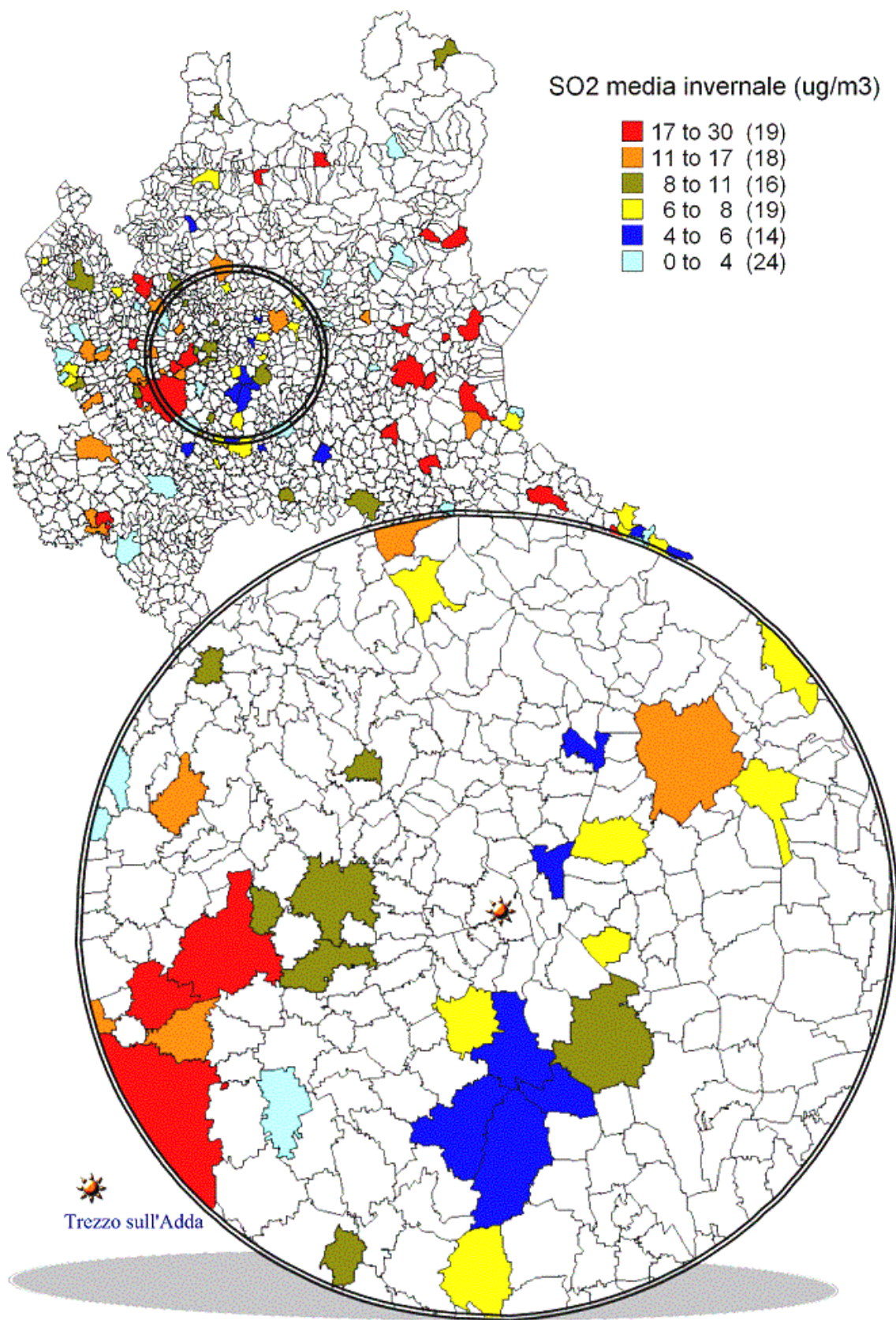


Figura 20 Distribuzione spaziale della media invernale di SO<sub>2</sub> per ogni comune dove presente almeno una stazione della rete.

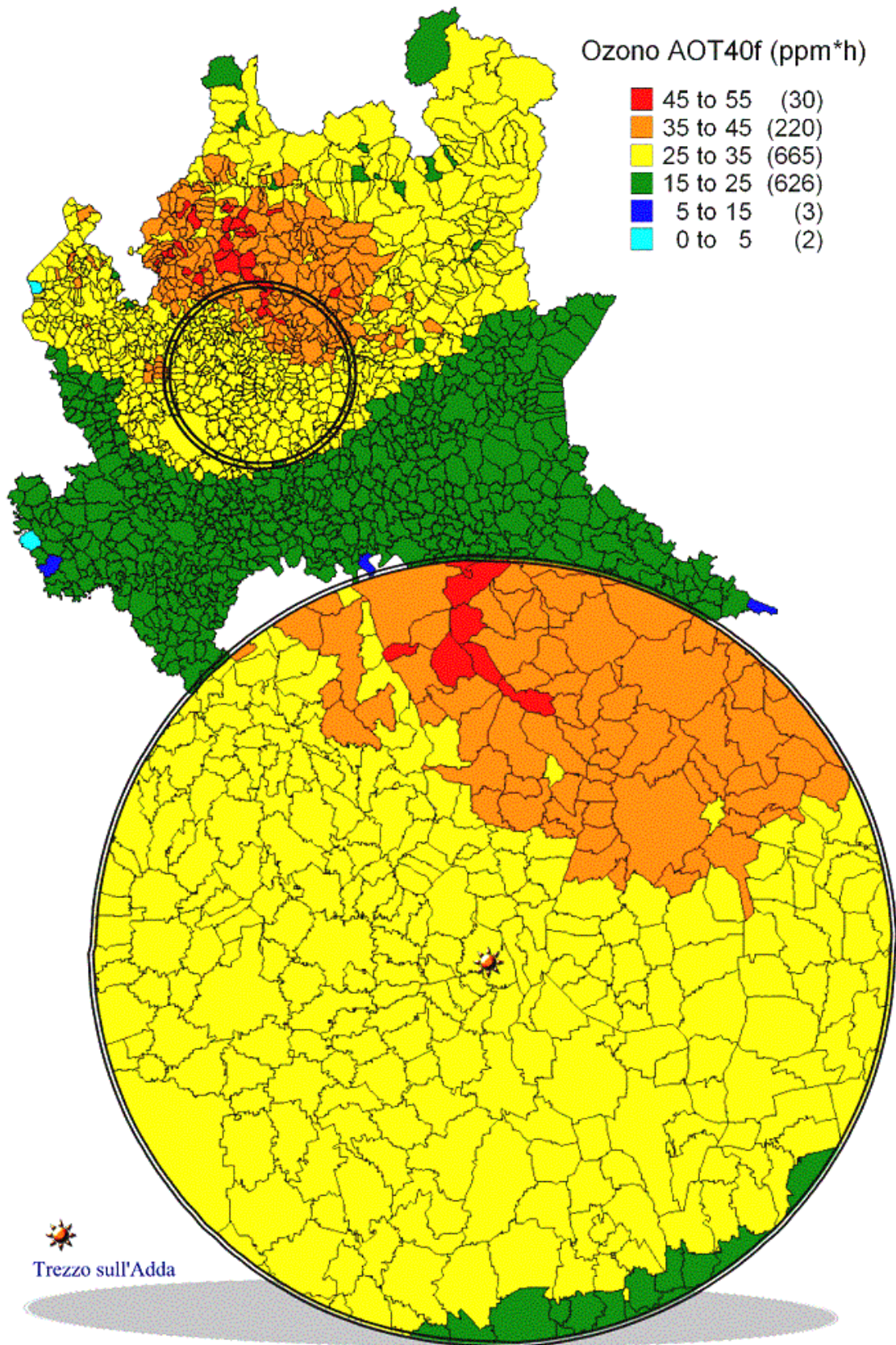


Figura 21 Distribuzione spaziale del livello di Ozono AOT40f per ogni comune estrapolata dalla rete di rilevamento.

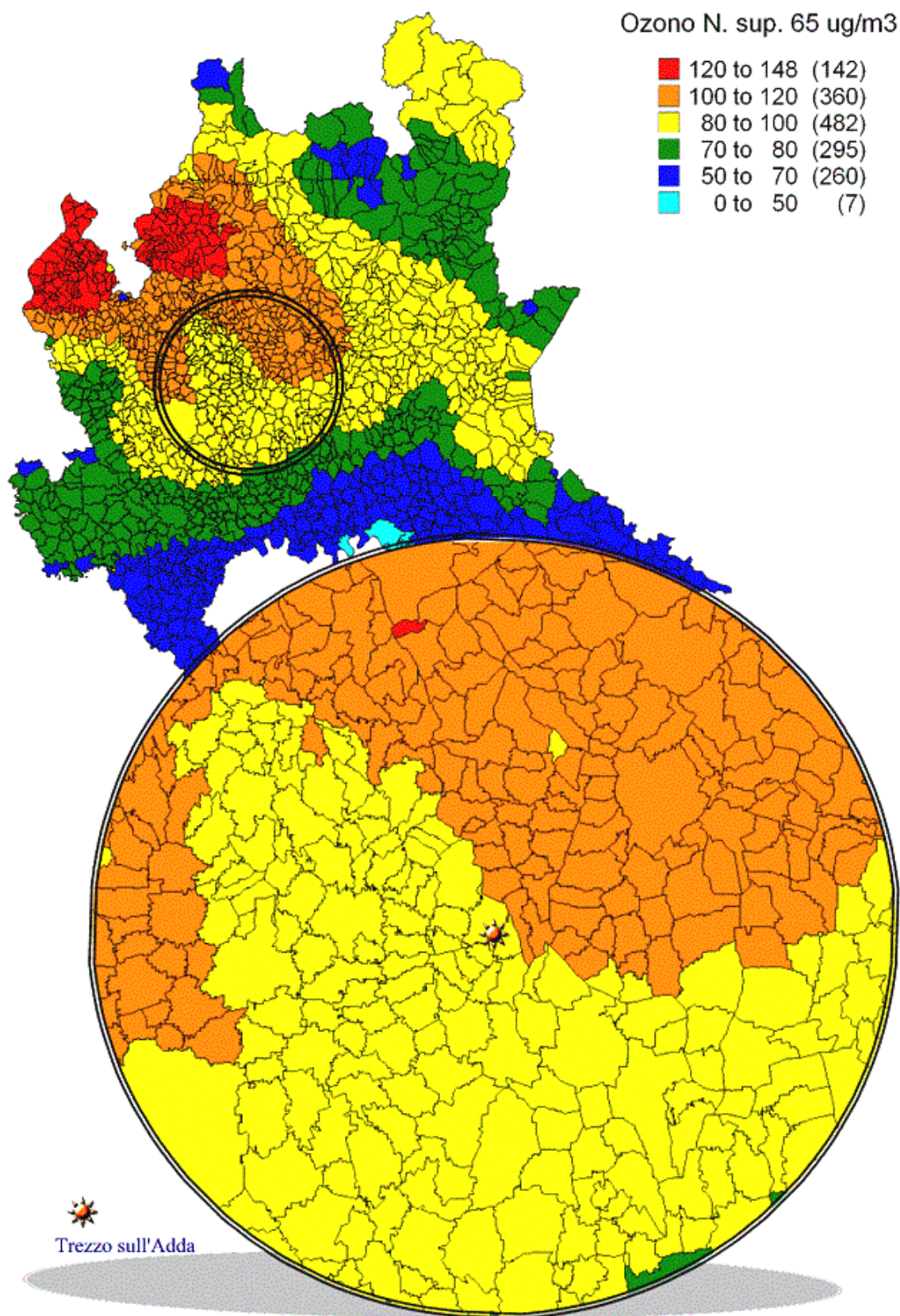


Figura 22 Distribuzione spaziale dei superamenti del livello di  $65\mu\text{g}/\text{m}^3$  di Ozono per ogni comune estrapolata dalla rete di rilevamento.

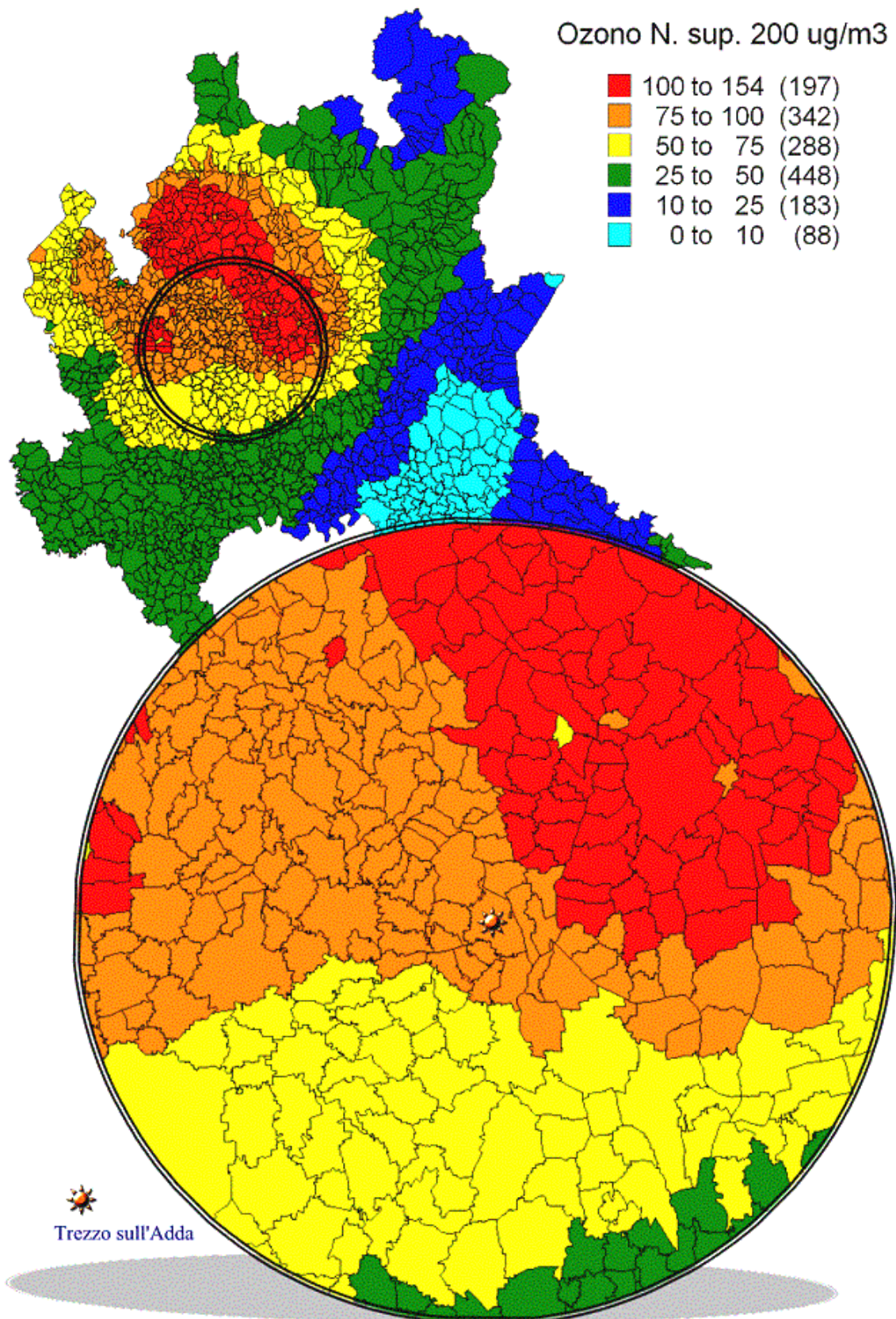


Figura 23 Distribuzione spaziale dei superamenti del livello di 200µg/m<sup>3</sup> di Ozono per ogni comune estrapolata dalla rete di rilevamento.